

## شناسایی مکان‌های ژنی کنترل کننده عملکرد و اجزای عملکرد دانه (*Oryza sativa L.*) در برنج

بابک ربیعی<sup>\*</sup>، محمد مسائی<sup>۱</sup> و علیرضا ترنگ<sup>۲</sup>

۱، ۲، به ترتیب دانشیار و دانشجوی سابق کارشناسی ارشد، دانشکده علوم کشاورزی دانشگاه گیلان،

۳، استاد یار بیوتکنولوژی کشاورزی منطقه شمال کشور، رشت

(تاریخ دریافت: ۸۹/۱۱/۱۰ - تاریخ تصویب: ۹۱/۳/۱)

### چکیده

به منظور مکان‌یابی QTL‌های کنترل کننده عملکرد و اجزای عملکرد دانه، یک جمعیت  $F_2$  مشتمل از ۱۸۸ بوته حاصل از تلاقی بین دو رقم خالص بینام و کادوس در سال ۱۳۸۷ در مزرعه تحقیقاتی دانشکده علوم کشاورزی دانشگاه گیلان کشت و تعداد نه صفت مهم مرتبط با عملکرد دانه مورد ارزیابی قرار گرفت. برای تهیه نقشه پیوستگی جمعیت  $F_2$ ، ۸۵ نشانگر SSR و ۲۰ ترکیب آغازگری از نشانگر AFLP بررسی شد. از بین آنها، ۳۷ نشانگر و ۱۰ ترکیب آغازگری از نشانگر AFLP شامل ۳۵ جایگاه ژنومی، چند شکلی خوبی در بین والدین نشان دادند که برای تهیه نقشه پیوستگی مورد استفاده قرار گرفتند. طول کل نقشه حاصل ۱۴۴۵/۷ سانتی مورگان و متوسط فاصله نشانگرها از یکدیگر ۲۱/۵۷ سانتی مورگان بود. با استفاده از روش مکان‌یابی فاصله‌ای مرکب ۱۶ QTL برای صفات مورد مطالعه مکان‌یابی گردید. برای ارتفاع بوته دو QTL هر دو روی کروموزوم ۷، برای طول خوش سه QTL روی کروموزوم‌های ۳، ۶ و ۷، برای وزن هزار دانه یک QTL روی کروموزوم ۳، برای تعداد خوش در بوته دو QTL روی کروموزوم‌های ۶ و ۱۰، برای تعداد دانه پُر در خوش در QTL روی کروموزوم‌های ۳ و ۹، برای تعداد خوش‌چه پوک در خوش یک QTL روی کروموزوم ۴، برای عملکرد دانه دو QTL روی کروموزوم‌های ۳ و ۶ برای روز تا ۵۰ درصد گلدهای دو QTL روی کروموزوم‌های ۱ و ۶ و برای روز تا رسیدگی کامل تنها یک QTL روی کروموزوم ۶ مکان‌یابی گردید. در بین QTL‌های شناسایی شده، *esnp4* برای عملکرد دانه، *tgw3* برای وزن هزار دانه، *ph7a* برای ارتفاع بوته، *esnp4* برای تعداد خوش‌چه پوک در خوش و *pl6* برای طول خوش، به ترتیب ۲۰/۱، ۱۸، ۱۶، ۱۶ و ۱۵ درصد از واریانس فتوپیپی صفات مربوطه را کنترل کردند و به عنوان QTL‌های بزرگ‌اثر کنترل کننده این صفات شناسایی شدند. از نشانگرهای با پیوستگی قوی با این QTL‌ها می‌توان به منظور انتخاب به کمک نشانگر استفاده نمود، اما برای نشانگرهایی که فاصله بیشتری از این QTL‌ها دارند، ابتدا باید نقشه پیوستگی اشیاع شده جمعیت تهیه شود تا از نشانگرهای با فاصله بسیار نزدیک با آنها بتوان به طور موثر در برنامه‌های انتخاب به کمک نشانگر استفاده نمود.

### واژه‌های کلیدی: برنج، عملکرد و اجزای عملکرد، نشانگرهای DNA، QTL

می‌باشد. مکان‌یابی جایگاه ژن‌های کنترل کننده صفات

کمی (QTL) یکی از روش‌هایی است که در دو دهه اخیر برای مطالعه ژنتیکی صفات کمی مورد استفاده قرار

### مقدمه

یکی از عواملی که اصلاح نباتات را محدود می‌کند نبود اطلاعات کافی در مورد ژن‌های کنترل کننده صفات کمی

دابل-هاپلوباید، QTL‌های مرتبط با همزمانی گلدهی در دو محیط، مطالعه و QTL‌های تاریخ گلدهی زودهنگام و Ma et al., (2009).

چنانچه ملاحظه می‌شود نتایج کاملاً متفاوتی از آزمایش‌های مختلف به دست آمده و از اینرو لازم است مکانیابی QTL‌ها و برآورد اثر آنها در جمعیت‌های مختلف (به خصوص در جمعیت‌های حاصل از ارقام ایرانی) انجام شود تا بتوان از مجموع نتایج حاصل اطلاعات دقیقی به دست آورد. هدف از این تحقیق، تهیی نقشه پیوستگی نشانگرهای SSR و AFLP در جمعیت F<sub>2</sub> حاصل از تلاقی رقم‌های بینام و کادوس و شناسایی QTL‌های کنترل‌کننده عملکرد و اجزای عملکرد دانه بود.

## مواد و روش‌ها

### مواد گیاهی

در این تحقیق، یک جمعیت F<sub>2</sub> متتشکل از ۱۸۸ بوته که از تلاقی بین دو رقم بینام و کادوس به دست آمد، به همراه والدین فوق در مزرعه تحقیقاتی دانشکده علوم کشاورزی دانشگاه گیلان در سال ۱۳۸۷ کشت داده شد. علت انتخاب این ارقام برای تهیی جمعیت نقشه‌یابی، خصوصیات متفاوت آنها از نظر صفات موردن مطالعه بود، به طوری که ارتفاع بوته در کادوس (که یک رقم اصلاح شده در موسسه تحقیقات برجسته کشور- رشت می‌باشد) کوتاه و قدرت پنجه‌زنی آن بالاست. از نظر طول دوره رشد متوضطرس تا دیررس بوده، دارای کیفیت پخت متوسط و عملکرد بالایی است و جزء ارقام پرمحصول می‌باشد. در مقابل، رقم بینام از ارقام محلی ایران است که کیفیت پخت بسیار مطلوبی دارد. این رقم پابلند بوده و دارای دوره رشد متوسط، عملکرد پایین و همچنین دارای طول دانه متوسط است.

### ارزیابی‌های فنوتیپی

صفات موردن مطالعه شامل ارتفاع بوته، طول خوشة، وزن هزار دانه، تعداد خوشه در بوته، تعداد دانه پر در خوشه، تعداد خوشه‌چه پوک در خوشه، عملکرد، روز تا ۵۰ درصد گلدهی و روز تا رسیدگی کامل بودند. برای مقایسه میانگین بین والدین، آزمون t-استیووندت با

گرفته است (Collard & Mackill, 2008). با شناسایی نواحی ژنومی کنترل‌کننده صفات کمی (QTL) و تعیین سهم هر یک از این نواحی در ایجاد تنوع مشاهده شده صفت در جمعیت، کارایی برنامه‌های به نزادی افزایش یافته و با اطمینان بیشتری می‌توان به اصلاح جمعیت پرداخت. در واقع QTL قطعه یا ناحیه‌ای از کروموزوم است که ژن یا ژن‌های کنترل‌کننده یک صفت کمی را حمل می‌کنند (Rabiei, & Sabouri, 2008). در این روش، با مطالعه تفرق همزمان صفت کمی و نشانگرهای مولکولی، تعداد QTL‌ها، مکان آن‌ها روی ژنوم، نوع عمل آن‌ها و میزان اثر فنوتیپی هر یک برآورد می‌شود و سپس، نتایج حاصل در برنامه‌های اصلاحی مانند انتخاب Liu, (1998).

در آزمایشی ژن‌های کنترل‌کننده صفات مرتبط با کیفیت ظاهری دانه شامل طول، عرض و شکل دانه در ارقام برج ایرانی شناسایی و معرفی گردید (Rabiei et al., 2004). در گزارش دیگری، QTL‌های تاریخ گلدهی در ارقام برج ایرانی معرفی شدند (Rabiei, 2007). QTL‌های کنترل‌کننده تعداد دانه در خوشه و طول بوته، در یک جمعیت ۱۲۵ فردی F<sub>2</sub> مورد مطالعه قرار گرفت و یک QTL بزرگ‌اثر برای صفات عملکرد دانه، تاریخ گلدهی و ارتفاع بوته روی کروموزوم ۸ برج مکانیابی ۲۵۸ گردید (Zhang et al., 2006). همچنین، با مطالعه ۶۹ QTL اینبرد لاین نوترکیب (RILs)، دو QTL برای عملکرد دانه، شش QTL برای وزن هزار دانه و نه QTL برای ارتفاع بوته شناسایی شد (Li et al., 2006). در آزمایش دیگری که در یک جمعیت دابل-هاپلوباید<sup>1</sup> برج با ۴۱٪ از تغییرات ارتفاع بوته و طول خوشه را توجیه می‌کرد، شناسایی گردید (Yan et al., 2007). در یک آزمایش، مکانیابی QTL‌ها برای صفت تعداد پنجه در بوته در طی ۹ مرحله اندازه‌گیری در مراحل متفاوت رشد برج انجام شد و در کل دوازده QTL قطعی و در روش مکانیابی ارتباطی، دو QTL جدید روی کروموزوم‌های ۷ و ۸ مکانیابی شد (Fang ming, 2008).

1. Double haploid

از رویه Univariate SAS نرمافزار انجام شدند

استفاده از رویه ttest و برای آزمون نرمال بودن داده‌ها در جمعیت  $F_2$  آزمون‌های چولگی و کشیدگی با استفاده

جدول ۱- توالی جایگاه‌های برشی آنزیم‌های هضم‌کننده DNA، توالی سازگارسازها، توالی آغازگرهای *PstI* و *MseI* در مرحله AFLP پیش‌تکثیر و تکثیر انتخابی در روش

| MseI                           | توالی برشی      | <i>PstI</i>                    | توالی برشی      |
|--------------------------------|-----------------|--------------------------------|-----------------|
| 5'...T↓TAA...3'                |                 | 5'...CTGCA↓G...3'              |                 |
| 3'...AAT↑T...5'                |                 | 3'...G↑ACGTC...5'              |                 |
| MseI                           | توالی سازگارساز | <i>PstI</i>                    | توالی سازگارساز |
| 5'-GACGATGAGTCCTGAG-3'         |                 | 5'-CTCGTAGACTCGTACATGCA-3'     |                 |
| 3'-TACTCAGGACTCAT-5'           |                 | 3'-CATCTGACGCATGT-5'           |                 |
| <i>PstI</i>                    | آغازگر عمومی    | <i>MseI</i>                    | آغازگر عمومی    |
| 5'-GACTGCGTACATGCAG-3'         |                 | 5'-GATGAGTCCTGAGTAA-3'         |                 |
| آغازگر                         | آغازگر          | آغازگر                         | آغازگر          |
| 5'-GACTGCGTACATGCAGGTT-3': p70 | آغازگر          | 5'-GACTGCGTACATGCAGCCA-3': p51 | آغازگر          |
| MseI                           | آغازگر          | MseI                           | آغازگر          |
| 5'-GATGAGTCCTGAGTAACAT-3': M50 | آغازگر :M50     | 5'-GATGAGTCCTGAGTAACCC-3': M36 | آغازگر :M36     |
| 5'-GATGAGTCCTGAGTAACCA-3': M51 | آغازگر :M51     | 5'-GATGAGTCCTGAGTAACCG-3': M37 | آغازگر :M37     |
| 5'-GATGAGTCCTGAGTAACCT-3': M54 | آغازگر :M54     | 5'-GATGAGTCCTGAGTAACAA-3': M47 | آغازگر :M47     |
| 5'-GATGAGTCCTGAGTAACGA-3': M55 | آغازگر :M55     | 5'-GATGAGTCCTGAGTAACAC-3': M48 | آغازگر :M48     |
| 5'-GATGAGTCCTGAGTAACGT-3': M58 | آغازگر :M58     | 5'-GATGAGTCCTGAGTAACAG-3': M49 | آغازگر :M49     |

مرحله پیش‌تکثیر DNA و از آغازگرهای با سه نوکلئوتید اضافی در انتهای ۳' برای تکثیر انتخابی DNA ژنومی نمونه‌ها استفاده شد. توالی جایگاه‌های برش آنزیم‌ها، سازگارسازها و آغازگرها در مرحله AFLP در جدول ۱ و توالی آغازگرهای چند شکل SSR در جدول ۲ ارایه شده است. بعد از تعیین ژنوتیپ کلیه افراد  $F_2$  به وسیله‌ی نشانگرها و آغازگرها چند شکل (۳۷ نشانگر SSR و ۳۵ نشانگر AFLP)، داده‌های حاصل بهصورت یک ماتریس  $72 \times 188$  تنظیم و سپس وارد نرم افزار MapManager QTxb17 گردید. برای تهیه نقشه پیوستگی و تبدیل مقادیر نوترکیبی بین نشانگرها به فاصله ژنتیکی بر حسب سانتی‌مورگان ازتابع کوزامبی (Kosambi, 1943) استفاده شد. به منظور شناسایی QTL‌های کنترل کننده صفات مورد مطالعه از روش مکان‌یابی فاصله‌ای مرکب Win QTL Cartographer 2.5 (CIM) و نرم‌افزار ۲.۵ (IRRI) استفاده گردید و حداقل فاصله پویش نیز  $0/5$  سانتی-مورگان در نظر گرفته شد. حداقل مقدار LOD برای صفات مختلف نیز با استفاده از آزمون تبدیل با هزار LOD جایگشت تعیین شد و در نهایت QTL‌های با LOD بیشتر از سه انتخاب شدند. برای نام‌گذاری QTL‌ها از روش موسسه بین‌المللی تحقیقات برنج (IRRI) استفاده شد، به این ترتیب که ابتدا نام اختصاری صفت مورد نظر

### تهیه نقشه پیوستگی و مکان‌یابی QTL

DNA ژنومی والدین و بوته‌های  $F_2$  به روش CTAB (Rogers & Bandich, 1985) از برگ‌های جوان گیاهچه‌های برنج، در مرحله حداکثر پنجه‌زنی، استخراج شد. داده‌های ژنوتیپی این تحقیق در بخش ژنومیکس مدیریت بیوتکنولوژی کشاورزی منطقه شمال کشور (رشت) تهیه شد. جهت تهیه نقشه ژنتیکی و مکان‌یابی ژن‌های کنترل کننده صفات مورد نظر، تعداد ۸۵ نشانگر ریزماهواره که دارای پراکندگی مناسبی در کل ژنوم بودند، انتخاب و از نظر وجود چند شکلی روی والدین مورد ارزیابی قرار گرفتند و در نهایت ۳۷ نشانگر SSR چند شکل، شناسایی و برای تهیه نقشه پیوستگی در جمعیت  $F_2$  مورد استفاده قرار گرفتند. جهت کاوش ژنوم توسط نشانگرها AFLP نیز ابتدا هر دو والد با استفاده از ۲۰ ترکیب آغازگری موجود، مورد تکثیر انتخابی قرار گرفتند و سپس از بین آن‌ها ۱۰ ترکیب که در مجموع ۳۵ باند چند شکل تولید کردند، شناسایی و جهت تهیه نقشه روی نتاج  $F_2$  استفاده شدند. روش AFLP مطابق با روش وس و همکاران (Vos et al., 1995) انجام شد. برای این منظور، هضم DNA ژنومی به کمک دو آنزیم محدود‌گر *PstI* و *MseI* انجام گرفت. سپس از آغازگرهای بدون نوکلئوتید اضافی در انتهای ۳' برای

شدن. برای تشخیص نوع عمل ژن‌ها نیز درجه غالبیت QTL‌ها از نسبت اثر غالبیت (d) به قدر مطلق اثر افزایشی (a) محاسبه و در صورتی که این نسبت برابر با یک بود، عمل آنها به صورت غالبیت کامل، بزرگ‌تر از یک عمل فوق غالبیت، بین صفر و یک عمل غالبیت ناقص و برابر با صفر عمل افزایشی در نظر گرفته شد.

و سپس شماره کروموزوم نوشته شد و اگر بیشتر از یک QTL روی یک کروموزوم شناسایی شد، از حروف لاتین استفاده گردید (McCouch & CGSNL, 2008). توضیح این نکته ضروری است که در QTL‌های با اثر افزایشی مثبت و منفی، به ترتیب آلل‌های افزایش دهنده ارزش صفت مورد نظر از والد کادوس و بینام به نتاج منتقل

جدول ۲- نشانگرهای SSR چند شکل مورد استفاده در تهیه نقشه پیوستگی جمعیت<sub>2</sub> حاصل از تلاقی ارقام بینام و کادوس برنج

| نام نشانگر | کروموزوم | توالی رفت               | توالی برگشت             |
|------------|----------|-------------------------|-------------------------|
| RM23       | ۱        | CATTGGAGTGGAGGCTGG      | GTCAGGCTCTGCCATTCTC     |
| RM84       | ۱        | TAAGGGTCCATCCACAAGATG   | TTGCAAATGCAGCTAGAGTAC   |
| RM212      | ۱        | CCACTTTCAGCTACTACCAG    | CACCCATTGTCTCTCATTATG   |
| RM237      | ۱        | CAAATCCCAGCTGCTGTCC     | TGGGAAGAGAGCACTACAGC    |
| RM154      | ۲        | ACCCCTCCGCCTCGCCTCCTC   | CTCCTCCTCTGCGACCGCTCC   |
| RM240      | ۲        | CCTTAATGGGTAGTGTGCAC    | TGTAACCATTCCCTCATCC     |
| RM5390     | ۲        | GCAATTAAACCCATTATTCTG   | GGGAAGAAGAAAGCATTAG     |
| RM60       | ۳        | AGTCCCATGTTCCACTTCCG    | ATGGCTACTGCCTGTACTAC    |
| RM227      | ۳        | ACCTTTCGTCTATAAGACGAG   | GATTGGAGAGAAAAGAACCC    |
| RM232      | ۳        | CCGGTATCCTTCGATATTGC    | CCGACTTTCCCTGACG        |
| RM504      | ۳        | TCTATAATGTAGCCCCCCCC    | TTTCAGGGGCTTCTACCAAC    |
| RM307      | ۴        | GTACTACCGACCTACCGTTAC   | CTGCTATGCATGAACTGCTC    |
| RM317      | ۴        | CATACTTACCAAGTTACCGCC   | CTGGAGAGTGTAGCTAGTTGA   |
| RM6203     | ۴        | CGGGACGTGATCACCATC      | GGATAAATACGAATGGGGGG    |
| RM13       | ۵        | TCCAACATGGCAAGAGAGAG    | GGTGGCATTGATTCCAG       |
| RM173      | ۵        | CCTACCTCGCGATCCCCCCCCTC | CCATGAGGAGGAGGCAGCAGTC  |
| RM1024     | ۵        | GCATATACCATGGGGATTGG    | GGGATTGGGATAATGGTGTG    |
| RM170      | ۶        | TCGCGCTTCTTCCTCGTCGACG  | CCCGCTTGCAGAGGAAGCAGCC  |
| RM314      | ۶        | CTAGCAGGAACCTCTTCAGG    | AACATTCCACACACACACGC    |
| RM461      | ۶        | GAGACCGGAGAGACAACGTG    | TGATGCGTTGACTGCTAC      |
| RM501      | ۷        | GCCCATTAAATGTACAGGCG    | ATATCGTTAGCCGTGCTGC     |
| RM542      | ۷        | TGAATCAAAGCCCTCACTAC    | CTGCAACGAGTAAGGCAGAG    |
| RM1364     | ۷        | AAGAAATTCAAAACACATGA    | AAAACATCTACTTTGATCCA    |
| RM42       | ۸        | ATCCTACCGCTGACCATGAG    | TTTGGTCTACGTGGCGTACA    |
| RM502      | ۸        | GCGATCGATGGCTACGAC      | ACAACCCAAACAAGAAGGACG   |
| RM5428     | ۸        | ATGCAATACAGCACACTCGC    | CTTATGCTCTCATGGCTCCC    |
| RM219      | ۹        | CGTCGGATGATGTAAGCCT     | CATATCGGCATTGCCCTG      |
| RM328      | ۹        | CATAGTGGAGATGCACTGCTG   | CCTTCTCCCAGTCGTATCTG    |
| RM147      | ۱۰       | TACGGCTTCGGCGGGTATTCC   | CCCCCGAATCCCACATGAAACCC |
| RM228      | ۱۰       | CTGGCCATTAGTCCTTGG      | GCTTGCAGGCTCTGCTTAC     |
| RM311      | ۱۰       | TGGTAGTATAGGTACTAACAT   | TCCTATACACATACAAACATAC  |
| RM286      | ۱۱       | GGCTTCATCTTGGCGAC       | CCGGATTACGAGATAAAACTC   |
| RM332      | ۱۱       | GCGAAGGCAGAAGGTGAAG     | CATGAGTGTACTCACTCACCC   |
| RM7443     | ۱۱       | TGCTGCGTGTACTTTGGTG     | AACCCTCATCAGGCTACGC     |
| RM235      | ۱۲       | AGAAGCTAGGGCTAACGAAC    | TCACCTGGTCAGCCTTTTC     |
| RM1337     | ۱۲       | GTGCAATGCTGAGGAGTATC    | CTGAGAATCTGGAGTGCTTG    |
| RM2935     | ۱۲       | CAGCAAATTGTTACTTATG     | TGCTATGTTTTATAACG       |

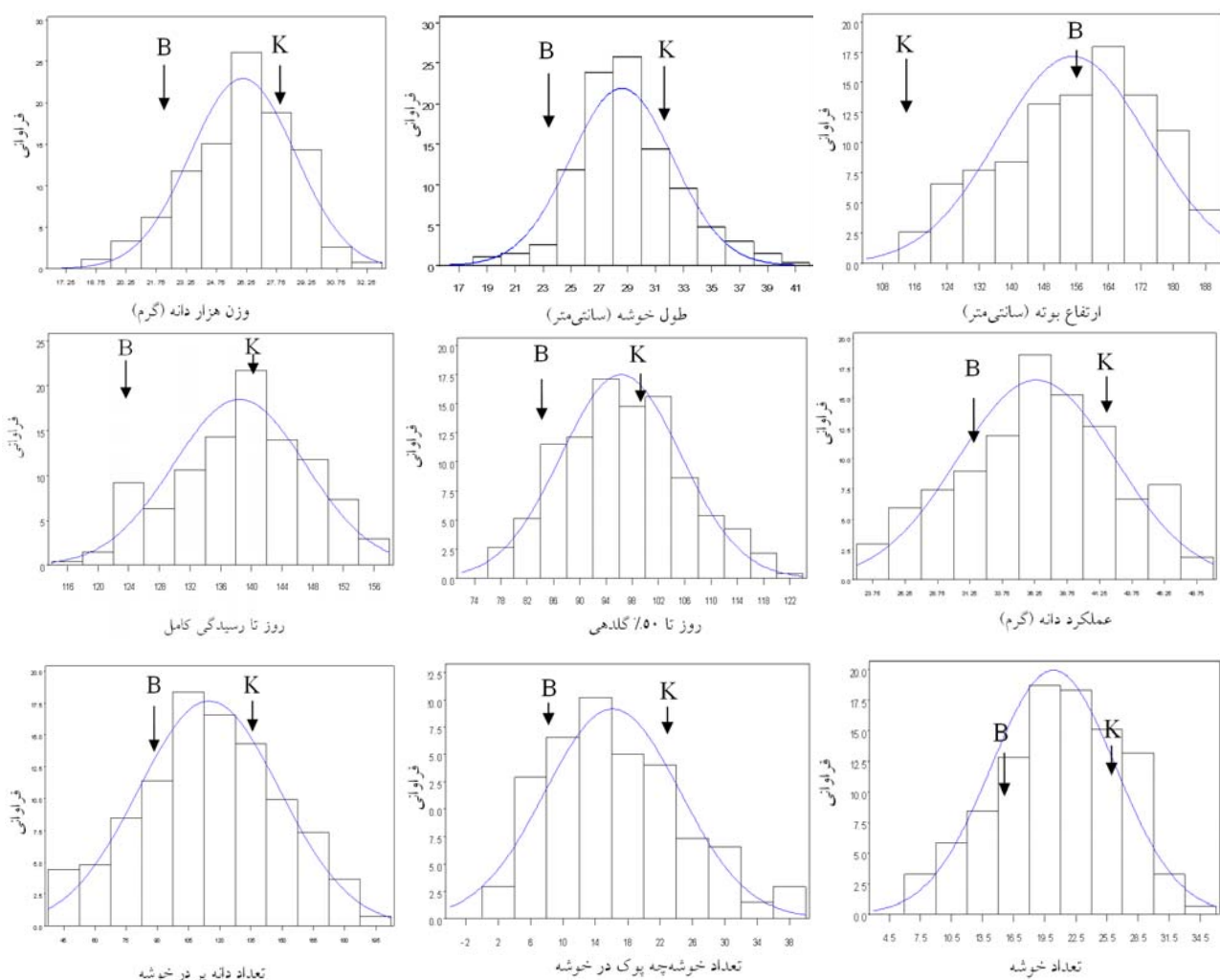
استفاده از روش ttest نرم‌افزار SAS مشخص گردید. توزیع ارزش‌های فنوتیپی صفات مطالعه شده در ۱۸۸ بوته F<sub>2</sub> حاصل از تلاقی ارقام بینام (B) و کادوس (K) در شکل ۱ نشان داده شده است. انجام آزمون‌های

## نتایج و بحث

با اندازه‌گیری صفات مورد مطالعه در والدین بینام و کادوس، ابتدا وجود تفاوت‌های معنی‌دار بین والدین برای کلیه‌ی صفات مربوطه در سطح احتمال ۱ درصد با

نشانگر چند شکل (۳۷) نشانگر SSR و ۳۵ نشانگر (AFLP) را در ۱۲ گروه پیوستگی مطابق با ۱۲ کروموزوم برنج قرار داد. نقشه حاصل ۱۴۴۵/۷ سانتی‌مورگان از ژنوم برنج را پوشش داد و فاصله نشانگرهای مجاور از یکدیگر به طور متوسط ۲۱/۵۷ سانتی‌مورگان بود (شکل ۲).

چولگی و کشیدگی نشان داد که توزیع فنتیپی در نتاج  $F_2$  تقریباً پیوسته و نرمال بود که این موضوع دلیل بر کمی بودن صفت مورد مطالعه می‌باشد. تعدادی از نتاج  $F_2$  دارای مقادیر بیشتر از والدین در تمامی صفات مورد مطالعه بودند که این نشان دهنده پدیده تفکیک مت加وز می‌باشد. جهت تهیه نقشه پیوستگی جمعیت از نرم‌افزار ۷۲ استفاده شد و نرم‌افزار QTxb17



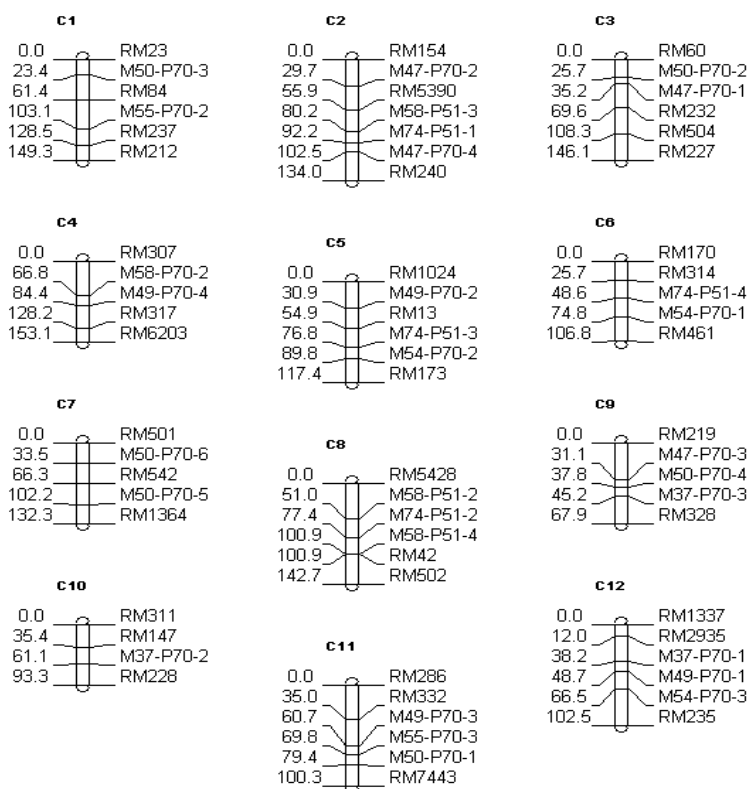
شکل ۱- توزیع ارزش‌های فنتیپی صفات مطالعه شده در ۱۸۸ بوته  $F_2$  حاصل از تلاقی ارقام بینام (B) و کادوس (K) برنج

نشانگر RM501 Mکان‌یابی شد. مقدار LOD این QTL برابر با ۸/۵۶ بود و ۱۶ درصد از واریانس فنتیپی صفت مذکور را توجیه نمود. دومین QTL (*Ph7b*) روی کروموزوم ۷ در فاصله نشانگری M50-P70-6-RM542 با فاصله ۶ سانتی‌مورگان از نشانگر M50-P70-6 Mکان‌یابی شد. QTL این LOD برابر با ۷/۶۰ بود و مقدار

های شناسایی شده با روش Mکان‌یابی فاصله‌ای QTL مركب برای صفات مورد مطالعه در جدول ۳ ارایه شده‌اند. برای ارتفاع بوته، دو QTL روی کروموزوم ۷ Mکان‌یابی گردید (جدول ۳). اولین QTL، QTL بزرگ‌اثر روی کروموزوم ۷ بود که در فاصله نشانگری *Ph7a* و با فاصله ۲۸ سانتی‌مورگان از RM501-M50-P70-6

طور موثر استفاده نمود. در مطالعه‌ای که روی دو یک جمعیت ۱۹۰ لاینی RIL و F<sub>6</sub> (F<sub>7</sub>) حاصل از تلاقی بین BC<sub>4</sub>F<sub>2</sub> Zhenshan97 و HR5 و همچنین چهار جمعیت NIL<sub>1</sub>, NIL<sub>2</sub>, NIL<sub>3</sub> و NIL<sub>7</sub> (NIL<sub>1</sub>, NIL<sub>2</sub>, NIL<sub>3</sub> و NIL<sub>7</sub>) انجام شد، یک QTL بزرگ‌اثر برای ارتفاع بوته روی کروموزوم ۷ مکان‌یابی گردید که ۳/۸۴ درصد از واریانس فنتیپی را کنترل کرد (Zhang et al., 2009). اثر افزایشی این QTL ۱/۱۱ و اثر غالبیت آن ۶/۹ بود. در مطالعه دیگری که با استفاده از ۲۵۴ اینبرد لاین نوترکیب (*indica*) (Taqing) حاصل از تلاقی Lemont (japonica) و دو جمعیت تست کراس حاصل از جمعیت مذکور انجام شد، پنج QTL مکان‌یابی گردید که هیچ یک از آنها روی کروموزوم ۷ برنج قرار نداشتند (Mei et al., 2003).

درصد از واریانس فنتیپی را توجیه نمود. اثر افزایشی این دو QTL به ترتیب برابر با ۲/۳ و ۲/۵۵ سانتی‌متر بود و در آنها به ترتیب آلل‌های والد بینام و کادوس موجب افزایش ارتفاع بوته شدند. اثر غالبیت هر دو QTL منفی و در جهت کاهش ارتفاع بوته و نوع عمل ژن در آنها نیز به صورت فوق غالبیت در جهت کاهش ارتفاع بوته بود. از آنجایی که کاهش ارتفاع بوته در برنج یکی از اهداف مهم برنامه‌های اصلاحی محسوب می‌شود، از اینرو با روش تولید هیبرید می‌توان از هر دو QTL فوق به طور موثر در برنامه‌های اصلاحی جهت کاهش ارتفاع بوته در جمعیت مورد مطالعه استفاده نمود. بدیهی است برای استفاده از روش انتخاب به کمک نشانگر لازم است ابتدا نقشه ژنتیکی اشیاع شده جمعیت تهیه شود تا بتوان از نشانگرهای با فاصله نزدیک به این QTL‌ها به



شکل ۲- نقشه پیوستگی ۷۲ نشانگر SSR و AFLP در جمعیت F<sub>2</sub> حاصل از تلاقی ارقام بینام و کادوس. اسامی نشانگرهای راست گروههای پیوستگی و فاصله ژنتیکی بین نشانگرها بر اساس تابع کوزامبی در سمت چپ آنها نشان داده شده است. اعداد بالای گروه‌ها نیز شماره کروموزوم‌های برنج را نشان می‌دهند.

شده از ۰/۵ تا ۱۵ درصد از تنوع فنتیپی را کنترل می‌کردند. اولین QTL شناسایی شده، QTL کوچک‌اثر

برای طول خوش، سه QTL روی کروموزوم‌های ۳، ۶ و ۷ مکان‌یابی گردید (جدول ۳). QTL‌های شناسایی

موثر بر وزن هزار دانه برجسته در نظر گرفت. اثر افزایشی این QTL برابر با  $-0.84\text{ g}$  بود و در آن، آل‌های والد بینام موجب افزایش وزن هزار دانه شدند. عمل ژن‌ها در این QTL نیز به صورت فوق غالبیت (درجه غالبیت برابر با  $2$ ) برآورد شد و اثر غالبیت این QTL به سمت افزایش وزن هزار دانه بود. بنابراین همانند دو صفت قبلی، برای وزن هزار دانه نیز می‌توان از روش تولید هیبرید استفاده نمود و به طور موثر از این QTL برای افزایش وزن هزار دانه سود جست. همچنین، از نشانگر RM60 که با فاصله  $3$  سانتی‌مترگان از این QTL قرار داشت، احتمالاً بتوان در برنامه‌های انتخاب به کمک نشانگر استفاده نمود. در یک بررسی با استفاده از  $187$  لاین  $F_1$  حاصل از تلاقی  $Zhenshan 97B$  و IRAT109، برای وزن هزار دانه شش QTL مکان‌یابی گردید که یکی از آنها روی کروموزوم  $3$  قرار داشت و بر خلاف این پژوهش کوچک اثر بود و فقط  $4.69$  درصد از واریانس فنوتیپی صفت را کنترل کرد (Zou et al., 2005).

برای تعداد خوش در بوته، دو روی کروموزوم‌های  $6$  و  $10$  مکان‌یابی گردید که در مجموع  $13$  درصد از تنوع فنوتیپی را کنترل کردند (جدول  $3$ ). اولین QTL (*pnp6*) روی کروموزوم  $6$  منطبق بر نشانگر M74-P51-4 مکان‌یابی شد و با LOD برابر با  $2.99$ ، مقدار  $8$  درصد از واریانس فنوتیپی را توجیه کرد. اثر افزایشی این QTL برابر با  $3.7$  خوش در بوته بود و در آن، آل‌های افزایش دهنده تعداد خوش در بوته از والد کادوس به ارث رسید. درجه غالبیت آن نیز برابر با  $2.27$  در جهت افزایش تعداد خوش در بوته برآورد شد. دومین QTL (*pnp10*) روی کروموزوم  $10$  منطبق بر نشانگر RM311 مکان‌یابی گردید که با LOD برابر با  $2.95$ ، مقدار  $5$  درصد از واریانس فنوتیپی را توجیه نمود. اثر افزایشی این QTL برابر با  $2.5$  به سمت کاهش تعداد خوش و درجه غالبیت آن برابر با  $2.07$  در جهت افزایش تعداد خوش بود. از آنجایی که عمل ژن‌ها در هر دو QTL فوق به صورت فوق غالبیت بود، از اینرو احتمالاً با تولید هیبرید بتوان تا حدودی تعداد خوش در بوته را اصلاح نمود. در مطالعه‌ای با یک جمعیت تلاقی برگشتی *O. rufipagon* پیشرفته حاصل از تلاقی بین دو گونه *O. rufipagon* (IRGC 105491) و *O. sativa* (Jefferson رقم

RM504-*pl3* روی کروموزوم  $3$  در فاصله نشانگری RM227 واریانس فنوتیپی صفت مذکور را توجیه کرد و اثر افزایشی آن برابر با  $0.16$  سانتی‌متر بود. دومین QTL بزرگ‌اشر *pl6* شناسایی شده برای طول خوش، QTL بزرگ‌اشر *pl6* بود. این QTL روی کروموزوم  $6$  دقیقاً در جایگاه نشانگر RM314 شناسایی شد و با LOD برابر با  $5.18$  مقدار  $15$  درصد از کل واریانس فنوتیپی صفت مذکور را توجیه کرد. اثر افزایشی این QTL برابر با  $1.49$  و درجه غالبیت آن نیز برابر با  $1.09$  بود. سومین روی QTL کروموزوم  $7$  در فاصله نشانگر RM542-M50-P70- $5$  شناسایی شد و با LOD برابر با  $4.16$ ، فقط  $3$  درصد از کل واریانس فنوتیپی صفت مذکور را توجیه کرد و درجه غالبیت آن نیز برابر با  $5.64$  بود. تمامی QTL‌های مکان‌یابی شده برای طول خوش دارای اثر فوق غالبیت بودند. بیشترین اثر فوق غالبیت ( $5.64$ ) در کروموزوم  $7$  مشاهده شد. همچنین، آل‌های افزایش دهنده طول خوش در تمامی QTL‌های شناسایی شده از والد کادوس به ارث رسید و اثر غالبیت آنها در تمامی QTL‌ها، به غیر از *pl6*، به سمت افزایش طول خوش بود. از آنجایی که هر سه QTL شناسایی شده دارای عمل فوق غالبیت بودند، بنابراین از روش تولید هیبرید می‌توان برای افزایش طول خوش در جمعیت مورد مطالعه استفاده نمود. در آزمایشی با استفاده از  $254$  اینبرد لاین نوترکیب ( $F_{10}$ ) حاصل از تلاقی بین Lemont و Teqing و دو جمعیت تلاقی برگشتی ( $BCF_1$ ) حاصل از این والدین، تعداد هفت QTL برای طول خوش مکان‌یابی شد که دو از QTL شناسایی شده که روی کروموزوم‌های  $6$  و  $7$  قرار داشتند و به ترتیب  $11/2$  درصد و  $8/3$  درصد از تنوع فنوتیپی صفت را کنترل کردند، با نتایج مطالعه حاضر مطابقت داشت (Mei et al., 2005).

در مورد وزن هزار دانه، فقط یک QTL (*tgw3*) در فاصله نشانگری  $2-4$  (RM60-M50-P70) روی کروموزوم  $3$  و با فاصله  $3$  سانتی‌مترگان از نشانگر RM60 مکان‌یابی گردید که با LOD برابر با  $6.21$ ، به تنها یی مقدار  $18$  درصد از کل واریانس فنوتیپی را توجیه کرد (جدول  $3$ ). از این جهت این QTL را می‌توان یک QTL بزرگ‌اشر

انجام شود، از اینرو از آللهای والد کادوس که موجب کاهش تعداد دانه پوک در این QTL شدند، استفاده کرد و هیبریدهایی را که تعداد دانه پوک کمتری دارند، با استفاده از این والد تهیه نمود.

برای عملکرد دانه، دو QTL روی کروموزوم‌های ۳ و ۶ مکانیابی گردید (جدول ۳). اولین QTL (*gy3*) در فاصله نشانگری M47-P70-1-RM232 روی کروموزوم M47-P70-1 با فاصله ۱۱ سانتی‌مترگان از نشانگر ۳ مکانیابی شد که با LOD برابر با ۷/۶۳، مقدار ۲۰/۱ مکانیابی شد. اثر افزایشی این QTL برابر با ۰/۵۹ بود و در آن، آللهای والد کادوس موجب افزایش عملکرد دانه شدند. دومین QTL (*gy6*) روی کروموزوم ۶ در فاصله نشانگری RM314-M74-P51-4 شناسایی شد و با LOD برابر با ۳/۴۶، مقدار ۴/۷ درصد از کل واریانس فنتوتیپی را توجیه نمود. درجه غالبیت آن دو QTL به ترتیب برابر با ۲/۰۱ و ۱/۲ بود و بنابراین، *gy3* دارای عمل فوق غالبیت و *gy6* دارای عمل غالبیت کامل بود. با توجه به عمل فوق غالبیت QTL بزرگ‌اثر *gy3* می‌توان از روش تولید هیبرید برای افزایش عملکرد دانه در جمعیت مورد مطالعه استفاده نمود. در مطالعه‌ای با استفاده از ۲۳۱ اینبرد لاین F<sub>8</sub> حاصل از تلاقی بین ارقام Suweon365 و Chucheongbyeo و با استفاده از ۲۲۱ نشانگر (۱۳۴) نشانگر ریز ماهواره، ۶۶ نشانگر RFIP و ۲۱ نشانگر MITE در طی ۲ سال دو QTL برای عملکرد دانه مکانیابی شد که یک QTL روی کروموزوم ۳ قرار داشت و فقط مقدار ۲/۱ درصد از تنوع فنتوتیپی عملکرد دانه را کنترل کرد (Kwon et al., 2008).

برای روز تا ۵۰ درصد گلدهی نیز دو QTL روی کروموزوم‌های ۱ و ۶ مکانیابی گردید (جدول ۳). اولین QTL (*df1*) در فاصله نشانگرهاي RM84-M55-P70-3 و نشانگرهاي RM170-RM314 منطبق بر نشانگر RM84 شناسایی شد و با LOD برابر با ۴/۵۱، فقط مقدار ۴ درصد از کل واریانس فنتوتیپی را توجیه نمود. اثر افزایشی این QTL برابر با ۳/۷۲ روز بود. دومین QTL (*df6*) در فاصله نشانگرهاي RM314 منطبق بر نشانگر RM314 مکانیابی گردید و با LOD

۱۴۰ نشانگر ریزماهواره و ۴۹ نشانگر AFLP برای شناسایی QTL‌های تعداد خوش در بوته استفاده گردید، اما هیچ یک از QTL‌های شناسایی شده روی کروموزوم‌های ۶ و ۱۰ قرار نداشتند (Thomson et al., 2003).

برای تعداد دانه پر در خوش، دو QTL روی کروموزوم‌های ۳ و ۹ مکانیابی گردید که در مجموع در حدود ۲۰ درصد از تنوع فنتوتیپی این صفت را توجیه کردند. اولین QTL (*gnp3*) در فاصله نشانگری M47-P70-1-RM232 روی کروموزوم ۳ مکانیابی شد و با LOD برابر با ۴/۳۳، مقدار ۱۳ درصد از واریانس فنتوتیپی را توجیه نمود. اثر افزایشی این QTL برابر با ۳/۸۴ و درجه غالبیت آن برابر با ۱/۸۴- برآورد شد. دومین QTL (*gnp9*) روی کروموزوم ۹ در فاصله نشانگری M49-P70-2-RM13 شناسایی شد و با LOD برابر با ۳/۰۸، مقدار ۷ درصد از واریانس فنتوتیپی را توجیه کرد. اثر افزایشی این QTL برابر با ۲/۳۷- و درجه غالبیت آن نیز برابر با ۲/۸۶- برآورد شد. آللهای افزایش دهنده تعداد دانه پر در خوش در هر دو QTL شناسایی شده از والد بینام به ارت رسید. با توجه به درجه غالبیت QTL‌های محاسبه شده، اثر هر دو QTL به صورت فوق غالبیت بود و بنابراین، برای افزایش تعداد دانه پر در خوش می‌توان از روش تولید هیبرید استفاده نمود. در یک مطالعه با استفاده از یک جمعیت اینبرد لاین نوترکیب (F<sub>9</sub>) حاصل از تلاقی Zhenshun97 و Minghui63 QTL شناسایی شد که یکی از آنها روی کروموزوم‌های ۳ مکانیابی گردید و ۱۴/۴۸ درصد از واریانس فنتوتیپی صفت را کنترل کرد (Xu et al., 2004).

در مورد تعداد خوش‌چه پوک در خوش، فقط یک QTL در فاصله نشانگری ۲-RM307-M58-P70-1 روی کروموزوم ۴ (مکانیابی گردید که با LOD برابر با ۵/۱۳، مقدار ۱۶ درصد از واریانس فنتوتیپی را توجیه کرد (جدول ۳). اثر افزایشی این QTL برابر با ۰/۲۶ بود و در آن، آللهای والد بینام موجب افزایش تعداد دانه پوک شدند. درجه غالبیت این QTL نیز برابر با ۱/۳۱ برآورد شد و بنابراین عمل زن‌های آن به صورت فوق غالبیت به سمت افزایش تعداد دانه پوک بود. از آنجایی که عملیات اصلاحی باید برای کاهش تعداد دانه پوک

استفاده از ۱۹۲ گیاه  $F_2$  حاصل از تلاقی ارقام بومی ایرانی دم‌سفید و گرده و با به‌کارگیری ۸۸ نشانگر ریز ماهواره چند شکل، شش QTL برای تاریخ گلدهی شناسایی شد که همانند پژوهش حاضر دو QTL روی کروموزوم‌های ۱ و ۶ قرار داشتند و به ترتیب ۶/۶ درصد و ۲۳/۵ درصد از تنوع فنتوتیپی صفت را کنترل کردند (Rabiei, 2007). در آزمایش دیگری با استفاده از یک جمعیت  $F_2$  شامل ۱۴۶ فرد حاصل از تلاقی بین- ۷۱۰۳۳- IR-125-15 و Junambyeo که بررسی فنتوتیپی در QTL ادامه یافت، برای تاریخ گلدهی دو QTL روی کروموزوم‌های ۶ و ۸ مکان‌یابی گردید که کروموزوم ۶ همانند این پژوهش، بزرگ‌آثر بود و ۳۴/۹ درصد از واریانس فنتوتیپی صفت را کنترل کرد (Rahman et al., 2008).

برابر با ۹/۴۱ مقدار ۹ درصد از کل واریانس فنتوتیپی را توجیه کرد. اثر افزایشی این QTL برابر با ۶/۹۹ روز بود. آلل‌های کاهش دهنده روز تا ۵۰٪ گلدهی در هر دو QTL مکان‌یابی شده از والد بینام به ارث رسید و درجه غالبیت این دو QTL نیز به ترتیب برابر با ۷۴-۰/۰-۱۴ در جهت کاهش صفت بود. این برآورد نشان داد که اثر هر دو QTL به صورت غالبیت ناقص به سمت کاهش روز تا ۵۰٪ گلدهی بود و از آنجایی که کاهش این صفت در برنج یکی از اهداف اصلاحی مهم می‌باشد، از این‌رو برای اصلاح این صفت در جمعیت مطالعه ابتداء می‌توان از روش انتخاب استفاده نمود تا QTL‌های مطلوب و با اثرات افزایشی در جمعیت افزایش یابند و سپس لاین‌های انتخاب شده را تلاقی داد تا از اثر غالبیت QTL‌ها نیز استفاده شود. در یک بررسی با

جدول -۳- های مکان‌یابی شده برای صفات مورد مطالعه در جمعیت  $F_2$  حاصل از تلاقی ارقام بینام و کادوس

| صفت              | QTL          | نشانگر          | نرخ چپ | LOD  | موقعیت* | اثر افزایشی **(a) | اثر غالبیت (d) | درجه واریانس فنتوتیپی ( $R^2$ ) | درصد |
|------------------|--------------|-----------------|--------|------|---------|-------------------|----------------|---------------------------------|------|
| ارتفاع بوته      | <i>ph7a</i>  | RM501-M50-P70-6 | ۷      | ۸/۵۶ | ۲۸      | -۳/۳              | -۳/۸۲          | -۱/۱۶                           | ۱۶   |
|                  | <i>ph7b</i>  | M50-P70-6-RM542 | ۷      | ۷/۶۰ | ۶       | ۲/۵۵              | -۳/۷۸          | -۱/۴۸                           | ۸    |
| pl3              | <i>pl3</i>   | RM504-RM227     | ۳      | ۲/۴۳ | ۳۲      | ۰/۱۶              | ۰/۲            | ۱/۲۵                            | ۰/۵  |
| طول خوش          | <i>pl6</i>   | RM314-M74-P51-4 | ۶      | ۵/۱۸ | .       | ۱/۴۹              | -۱/۶۲          | -۱/۰۹                           | ۱۵   |
|                  | <i>pl7</i>   | RM542-M50-P70-5 | ۷      | ۴/۱۶ | ۲۳      | ۱/۰۴              | ۵/۸۷           | ۵/۶۴                            | ۳    |
| وزن هزار دانه    | <i>tgw3</i>  | RM60-M50-P70-2  | ۳      | ۶/۲۱ | ۳       | -۰/۸۴             | ۱/۶۸           | ۲                               | ۱۸   |
| تعداد خوش        | <i>pnp6</i>  | RM314-M74-P51-4 | ۶      | ۷/۹۹ | ۲۲/۹    | ۳/۷               | ۸/۳۹           | ۲/۲۷                            | ۸    |
| بوته             | <i>pnp10</i> | RM311-RM147     | ۱۰     | ۲/۹۵ | .       | -۲/۵              | ۵/۱۹           | ۲/۰۷                            | ۵    |
| تعداد دانه پر در | <i>gnp3</i>  | M47-P70-1-RM232 | ۳      | ۴/۳۳ | ۱۱      | -۳/۸۴             | -۷/۰۸          | -۱/۸۴                           | ۱۳   |
| خوش              | <i>gnp9</i>  | RM219-M47-P70-3 | ۹      | ۳/۰۸ | ۲۲      | -۲/۲۷             | -۶/۷۹          | -۲/۸۶                           | ۷    |
| تعداد خوش‌چه     | <i>esnp4</i> | RM307-M58-P70-2 | ۴      | ۵/۱۳ | ۲۸      | -۰/۲۶             | ۰/۳۴           | ۱/۳۱                            | ۱۶   |
| پوک در خوش       |              |                 |        |      |         |                   |                |                                 |      |
| عملکرد دانه      | <i>gy3</i>   | M47-P70-1-RM232 | ۳      | ۷/۶۳ | ۱۱      | ۰/۵۹              | ۱/۱۹           | ۲/۰۱                            | ۲۰/۱ |
|                  | <i>gy6</i>   | RM314-M74-P51-4 | ۶      | ۳/۴۶ | ۲۰/۱    | -۰/۴۱             | -۰/۴۱          | -۱/۲۰                           | ۴/۷  |
| روز تا           | <i>df1</i>   | RM84-M55-P70-3  | ۱      | ۴/۵۱ | .       | ۳/۷۷              | ۲/۷۷           | -۰/۷۴                           | ۴    |
| گلدهی            | <i>df6</i>   | RM170-RM314     | ۶      | ۵/۴۱ | ۲۵/۷    | ۶/۹۹              | ۶/۹۸           | -۰/۱۴                           | ۹    |
| روز تا رسیدگی    | <i>dm6</i>   | RM170-RM314     | ۶      | ۴/۲۱ | ۲۰      | ۵/۴۱              | -۰/۵۵          | -۰/۱                            | ۱۳   |
| کامل             |              |                 |        |      |         |                   |                |                                 |      |

\* موقعیت ارائه شده برای QTL‌ها، فاصله QTL‌ها را از نشانگر سمت چپ نشان می‌دهد.

\*\* اثر افزایشی مثبت و منفی به ترتیب نشان دهنده انتقال آلل‌های افزایش صفت از والدین کادوس و بینام می‌باشد.

۶ و منطبق بر نشانگر RM314 مکان‌یابی گردید که با LOD برابر با ۴/۲۱، مقدار ۱۳ درصد از کل واریانس

برای روز تا رسیدگی کامل، فقط یک QTL (*dm6*) در فاصله نشانگرهای RM170-RM314 روی کروموزوم

پیوستگی شدید نسبت داد. برای مثال، QTL بزرگ‌اثر  $gy3$  برای عملکرد دانه در فاصله ۱۱ سانتی‌مترگان از نشانگر-۱ M47-P70 روی کروموزوم ۳ شناسایی شد و حدود ۲۰ درصد از تنوع فنوتیپی عملکرد دانه را کنترل کرد. این QTL دارای اثر پلایوتروپی روی تعداد دانه پر در خوش نیز می‌باشد، زیرا یکی از QTL‌های کنترل کننده تعداد دانه پر در خوش ( $gnp3$ ) دقیقاً در فاصله ۱۱ سانتی‌مترگانی از همین نشانگر شناسایی شد و ۱۳ درصد از تنوع فنوتیپی این صفت را نیز توجیه نمود. مشاهده جدول ۴ نیز نشان داد که دو صفت عملکرد دانه و تعداد دانه پر در خوش دارای همبستگی معنی‌داری می‌باشند. همچنین، بین سه صفت عملکرد دانه، طول خوش و تعداد خوش در بوته همبستگی مثبت و معنی‌داری مشاهده شد (جدول ۴).

مقایسه QTL‌های شناسایی شده برای این سه صفت نیز نشان داد که یکی از QTL‌های کنترل کننده هر سه صفت فوق در فاصله بین نشانگرهای RM314-4 M74-P51-4 روی کروموزوم ۶ قرار دارد (جدول ۳) که احتمالاً یک خوش QTL شامل چند QTL پیوسته باشد که بر هر سه صفت مورد نظر موثر است. روز تا٪۵۰ گلدهی و روز تا رسیدگی کامل نیز که دارای همبستگی معنی‌داری بودند (جدول ۴)، به وسیله احتمالاً یک QTL دارای اثر پلایوتروپی یا QTL‌های پیوسته احاطه شده به وسیله نشانگرهای مجاور RM170-RM314 روی کروموزوم ۶ کنترل می‌شوند.

فنوتیپی صفت مذکور را توجیه نمود. اثر افزایشی این QTL برابر با ۵/۴۱ روز بود و در آن، آلل‌های کاهاش دهنده روز تا رسیدگی از والد بینام به ارت رسید. درجه غالبیت آن نیز برابر با ۰/۱- برآورد شد و بنابراین QTL فوق دارای اثر غالبیت ناقص به سمت کاهاش روز تا رسیدگی بود. از آنجایی که کاهاش این صفت در برنج یکی از اهداف اصلاحی مهم می‌باشد، از این‌رو برای اصلاح این صفت در جمعیت مورد مطالعه، همانند روز تا گلدهی ابتدا می‌توان از روش انتخاب استفاده نمود تا از اثر افزایشی QTL‌ها استفاده شود و سپس با تلاقي لاین‌های انتخابی و تولید هیبرید، اثر غالبیت QTL‌ها نیز مورد استفاده قرار گیرد. در آزمایشی، QTL‌های کنترل کننده زمان رسیدگی در یک جمعیت  $F_2$  حاصل از تلاقي ارقام بومی ایرانی مطالعه و پنج QTL شناسایی شد که یکی از آنها مشابه با این پژوهش روی کروموزوم ۶ مکان‌یابی شد و به عنوان یک QTL بزرگ‌اثر (Rabiei & Ghareyazie, 2005) از تنوع فنوتیپی زمان رسیدگی را کنترل کرد (). ضریب همبستگی بین صفات مورد مطالعه در جدول ۴ ارایه شده است. مقایسه QTL‌های شناسایی شده برای صفات مورد مطالعه (جدول ۳) و مقایسه آن با ضرایب همبستگی بین صفات (جدول ۴) نشان داد که صفاتی که همبستگی معنی‌داری دارند، به وسیله جایگاه‌های ژنومی مشابهی کنترل می‌شوند، به طوری که می‌توان دلیل وجود همبستگی معنی‌دار بین صفات را تا حدود زیادی به کنترل آنها توسط QTL‌های یکسان و دارای اثرات پلایوتروپی یا QTL‌های با

جدول ۴- ضرایب همبستگی بین صفات مورد مطالعه در جمعیت  $F_2$  حاصل از تلاقي ارقام بینام و کادوس برنج

| صفات                       | ۹        | ۸         | ۷         | ۶        | ۵       | ۴        | ۳      | ۲       | ۱ |
|----------------------------|----------|-----------|-----------|----------|---------|----------|--------|---------|---|
| ۱- ارتفاع بوته             | -۰/۰۹    | -۰/۲۶۹*   | -۰/۲۰۰*   | -۰/۱۶۷   | -۰/۱۸۱  | -۰/۱۷۷   | -۰/۰۳۰ | -۰/۲۸۸* |   |
| ۲- طول خوش                 | -۰/۱۰۷   | -۰/۱۹۴    | -۰/۵۳۹**  | -۰/۱۸۴   | -۰/۲۶۵* | -۰/۱۰۲** | -۰/۱۰۱ | ۱       |   |
| ۳- وزن هزار دانه           | -۰/۰۶۰*  | -۰/۳۳۱*** | -۰/۲۹۲*   | -۰/۰۸۹   | -۰/۱۰۸  | -۰/۲۶۵*  | ۱      |         |   |
| ۴- تعداد خوش در بوته       | -۰/۰۵۵   | -۰/۱۹۲    | -۰/۷۸۲**  | -۰/۱۶۱   | -۰/۲۴۳* | ۱        |        |         |   |
| ۵- تعداد دانه پر در خوش    | -۰/۰۳۷   | -۰/۰۸۷    | -۰/۸۴۹*** | -۰/۲۵۴** | ۱       |          |        |         |   |
| ۶- تعداد خوش‌چه پوک در خوش | -۰/۰۱۳   | -۰/۱۳۸    | -۰/۰۰۳    | ۱        |         |          |        |         |   |
| ۷- عملکرد دانه             | -۰/۰۴۲   | -۰/۱۵۳    | ۱         |          |         |          |        |         |   |
| ۸- روز تا٪۵۰ گلدهی         | -۰/۷۴۲** | ۱         |           |          |         |          |        |         |   |
| ۹- روز تا رسیدگی کامل      | ۱        |           |           |          |         |          |        |         |   |

\*\* و \* به ترتیب معنی دار در سطح احتمال یک و پنج درصد

برای تعداد خوش‌چه پوک در خوش و  $pl6$  برای  $esnp4$  طول خوش، به ترتیب ۲۰/۱، ۱۸، ۱۶، ۱۶ و ۱۵ درصد از واریانس فنوتیپی صفات مربوطه را کنترل کردند و به

#### نتیجه‌گیری کلی

از بین QTL‌های شناسایی شده،  $gy3$  برای عملکرد دانه،  $tgw3$  برای وزن هزار دانه،  $ph7a$  برای ارتفاع بوته،

این پژوهش نشان داد که صفات همبسته به وسیله QTL‌های با اثرات پلیوتروپیک یکسان و یا QTL‌های دارای پیوستگی کنترل می‌شوند.

### سپاسگزاری

از همکاران محترم دانشکده علوم کشاورزی دانشگاه گیلان و مدیریت و پرسنل محترم پژوهشکده بیوتکنولوژی کشاورزی شمال کشور که در انجام آزمایش‌های مزرعه‌ای و آزمایشگاهی این طرح همکاری‌های لازم را داشتند، تشکر و قدردانی می‌شود.

### REFERENCES

- Collard, B. C. Y. & Mackill, D. J. (2008). Marker assisted selection: An approach for precision plant breeding in the twenty first century. *Philosophical Transactions of the Royal Society. Biological Sciences*, 363, 557–572.
- Fang ming, Z., Gui fu, L., Hai tao, Z., Xiao hua, D., Rui hen, Z., Ze min, Z., Wen tao, L. & Gui quan, Z. (2008). Unconditional and conditional QTL mapping for tiller numbers at various stages with single segment substitution lines in rice (*Oryza sativa L.*). *Plant and Soil*, 236, 237–242.
- Kosambi D. D. (1943). The estimation of map distances from recombination values. *Annals of Human Genetics*, 12, 172-175.
- Kwon, S. J., Cho, Y. C., Kwon, S. W., Oh, C. S., Suh, J. P., Shin, Y. S., Kim, Y. J., Holligan, D., Wessler, S. R., Hwang, H. G. & Ahn, S. N. (2008). QTL mapping of agronomic traits using an RIL population derived from a cross between temperate *japonica* cultivars in rice (*Oryza sativa L.*). *Breeding Science*, 58, 271-279.
- Li, S. B., Zhang, Z. H., Hu, Y., Li, C. Y., Jiang, X., Mao, T., Li, Y. S. & Zhu, Y. G. (2006). Genetic dissection of developmental behavior of crop growth rate and its relationships with yield and yield related traits in rice. *Plant Science*, 170, 911–917.
- Liu, B. H. (1998). *Statistical Genomics; Linkage, mapping and QTL analysis*. CRC Press. LLC. USA.
- Ma, L., Yang, C., Zeng, D., Cai, J., Li, X., Ji, Z., Xia, Y., Qian, Q. & Bao, J. (2009). Mapping QTLs for heading synchrony in a doubled haploid population of rice in two environments. *Genetics and Genomics*, 36, 297-304.
- McCouch S. R. & CGSNL (2008). Gene nomenclature system for rice. *Rice*, 1, 72-84.
- Mei, H. W., Luo, L. J., Ying, C. S., Wang, Y. P., Yu, X. Q., Guo, L. B., Paterson, A. H. & Li, Z. K. (2003). Gene actions of QTLs affecting several agronomic traits resolved in a recombinant inbred rice population and two tester cross populations. *Theor. Appl. Genet.*, 107, 89–101.
- Mei, H. W., Li, Z. K., Shu, Q. Y., Guo, L. B., Wang, Y. P., Yu, X. Q., Ying, C. S. & Luo, L. J. (2005). Gene actions of QTLs affecting several agronomic traits resolved in a recombinant inbred rice population and two backcross populations. *Theor. Appl. Genet.*, 110, 649–659.
- Rabiei, B. (2007). Linkage map of SSR markers and QTLs detection for heading date of Iranian rice cultivars. *J. Agric. Sci. Technol.*, 9, 235-242.
- Rabiei, B. & Ghareyazie, B. (2005). Linkage map construction of SSR markers and mapping QTLs controlling maturity time in a rice F<sub>2</sub> population. In: Proceeding of the 4<sup>th</sup> Biotechnology National Congress, Kerman (Mahan), Iran. (In Farsi)
- Rabiei, B. & Sabouri, H. (2008). *Mapping genes controlling quantitative traits*. University of Guilan Press. P. 193. (In Farsi)
- Rabiei, B., Valizadeh, M., Ghareyazie, B., Moghaddam, M. & Ali, A. J. (2004). Identification of QTLs for rice grain size and shape of Iranian cultivars using SSR markers. *Euphytica*, 137, 325–332.
- Rahman, L., Khanam, M. S. & Koh, H. J. (2008). QTL analysis for yield related traits using populations derived from an *indica-japonica* hybrid in rice (*Oryza sativa L.*). *Czech J. Genet. Plant Breed.*, 44 (3), 93–104.
- Rogers, S. O. & Bandich, A. J. (1988). Extraction of DNA from plant tissues. In: Gelvin S. B. & Schilperoort, R. A. (eds.). *Plant Molecular Biology Manual*. Kluwer Academic Publishers, Boston, USA, A6: 1-10.

عنوان QTL‌های بزرگ‌اثر کنترل کننده این صفات شناسایی شدند. از آنجایی که تمامی QTL‌های مذکور دارای اثر فوق غالبیت بودند، برای اصلاح جمعیت مورد مطالعه از نظر این QTL‌ها می‌توان از روش تولید هیبرید استفاده نمود. همچنین، از نشانگرهای مجاور و با پیوستگی قوی با این QTL‌ها می‌توان به منظور انتخاب به کمک نشانگر استفاده نمود، اما برای نشانگرهایی که فاصله بیشتری از این QTL‌ها دارند، ابتدا باید نقشه پیوستگی اشباع شده جمعیت تهیه شود تا از نشانگرهای با فاصله بسیار نزدیک با آنها بتوان به طور موثر در برنامه‌های انتخاب به کمک نشانگر استفاده نمود. نتایج

17. Thomson, M. J., Tai, T. H., McClung, A. M., Lai, X. H., Hinga, M. E., Lobos, K. B., Xu, Y., Martinez, C. P. & McCouch, S. R. (2003). Mapping quantitative trait loci for yield, yield components and morphological traits in an advanced backcross population between *Oryza rufipogon* and the *Oryza sativa* cultivar Jefferson. *Theor. Appl. Genet.*, 107, 479–493.
18. Vos, P., Hogers, R., Bleeker, M., Reijans, M., Lee, T., Horne, M., Frijters, A., Pot, J., Peleman, J., Kuiper, M. & Zabeau, M. (1995). AFLP: A new technique for DNA fingerprinting. *Nucleic Acids Research*, 23, 4407-4414.
19. Xu, C. G., Li, X. Q., Xue, Y., Huang, Y. W., Gao, J. & Xing, Y. Z. (2004). Comparison of quantitative trait loci controlling seedling characteristics at two seedling stages using rice recombinant inbred lines. *Theor. Appl. Genet.*, 109, 640–647.
20. Yan, C. J., Zhou, J. H., Yan, S., Chen, F., Yeboah, M., Tang, S. Z., Liang, G. H. & Gu, M. H. (2007). Identification and characterization of a major QTL responsible for erect panicle trait in *japonica* rice (*Oryza sativa* L.). *Theor. Appl. Genet.*, 115, 1093–1100.
21. Zhang, Y., Luo, L., Xu, C., Zhang, Q. & Xing, Y. (2006). Quantitative trait loci for panicle size, heading date and plant height co-segregating in trait-performance derived near isogenic lines of rice (*Oryza sativa* L.). *Theor. Appl. Genet.*, 113, 361-368.
22. Zhang, Y., Luo, L., Liu, T., Xu, C. & Xing, Y. (2009). Four rice QTL controlling number of spikelets per panicle expressed the characteristics of single Mendelian gene in near isogenic backgrounds. *Theor. Appl. Genet.*, 118, 1035–1044.
23. Zou, G. H., Mei, H. W., Liu, H. Y., Liu, G. L., Hu, S. P., Yu, X. Q., Li, M. S., Wu, J. H. & Luo, L. J. (2005). Grain yield responses to moisture regimes in a rice population: association among traits and genetic markers. *Theor. Appl. Genet.*, 112, 106–113.